

## (561) 微視き裂の寸法、方法、破壊モード及び生成時間の

AE原波形解析法による評価(微視割れのcharacterization-2)

東大生研○大平貴規

コネル大学 Yih-Hsing Pao

1. 緒言 実用金属材料の破壊過程を理解する上では、第二相粒子又は粒界などに起因する微視き裂の生成挙動を理解することが重要である。本研究では、光量的AE法として最近注目されていきAE原波形解析法を用いて、A533B鋼中のMnS介在物のはく離に起因する微視き裂の寸法、方法、破壊モード及び生成時間の評価を行った。

2. 原理 材料内のき裂の生成は、き裂面の両側での変位のくいちがい $[u]$ の発生でモデル化される。ここでき裂の挙動を表すパラメータ(原波形)として、モーメントテンソル $M_{jkl}$ を(1)式で定義する。

$$M_{jkl}(x, t) = C_{jklm}(x)[u_l(x, t)] n_m \Delta A \quad (1)$$

( $C_{jklm}(x)$ : 実験における弾性定数、 $n_m$ : き裂面法線ベクトル、 $\Delta A$ : き裂面積)。このき裂生成に伴うAEの検出波形 $T(t)$ は、(2)式により $M_{jkl}$ と関係づけられる。

$$T(t) = T(t) * G_{ijkl}(x, x'; t) * M_{jkl}(x', t) \quad (2)$$

ここで $T(t)$ 、 $G_{ijkl}(x, x'; t)$ は各々、AE計測系(変換子、増幅器、フィルターなどを含む)の伝達関数及び試験片の初期Green関数であり。 $t$ は時間で $t$ に関するみの積分を表す。(1)式より明らかのように、原波形 $M_{jkl}$ はき裂面積 $\Delta A$ 、方法 $n_m$ 、破壊モード([ $u$ ]と $n_m$ の方位関係)及びき裂生成時間( $M_{jkl}$ の立ち上がり時間)を全て含んでいきるので、 $T(t)$ 及び $G_{ijkl}(x, x'; t)$ が既知ならば、検出波形 $T(t)$ より(2)式を用いてこれらの情報を得られる。

3. 実験 AE計測方法は前報(微視割れのcharacterization-1)と同一である。AE計測系の伝達関数 $T(t)$ は、ガラス細管の圧折に伴う波形を測定することにより実験的に決定した。2. Green関数は半無限体又は無限板に対する解析解を用いた。

4. 結果及び考察 本実験で観察されたAEは、総波初動の立ち上がり時間により明瞭に2種類に分類され、絶縁標光結果及び発生順序より、各々微視き裂の生成及びその合体に対応してⅠとⅡと名づけられる。原波形 $M_{jkl}$ の立ち上がり時間より両者の生成時間は各々約 $0.3\mu s$ 、 $1\mu s$ と評価され、微視き裂の生成は合体に比して短時間で起きることことが示された。又、個々のき裂から発生した総波及び種波の放射形式から $M_{jkl}$ の成分比が決定され、(1)式を用いてき裂面方位 $n_m$ 及び開口方向 $[u]$ が求められる。Fig. 1より、微視き裂(type I)は主き裂面に平行な引張き裂であるのに對し、合体過程(type II)は主き裂面に垂直して伸び、混合モードで生じていることが理解される。又、 $M_{jkl}$ の絶対値よりき裂体積 $V = [u] \cdot n_m \Delta A$ が求められ、微視き裂の場合、引張応力のみを受けた四極き裂で近似することになり、き裂半径は $40 \sim 75\mu m$ と評価された。これらのき裂寸法及び方角は、き裂の断面観察結果とよく一致した。

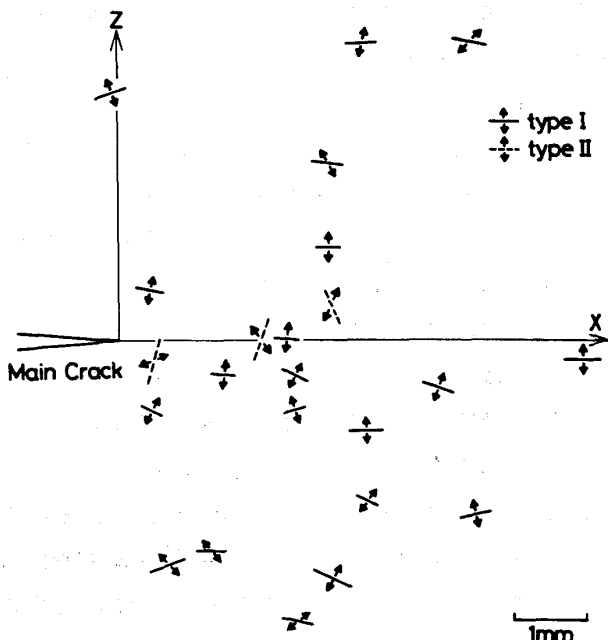


Fig. 1 Crack orientation (solid or broken lines) and opening direction (arrows).  
type I: microcrack formation.  
type II: coalescence of microcracks.